



## ارزیابی ایمونوفوتایپ و ایمونوتایپ رده‌های سلولی میلومایی RPMI-8226، KMS-12BM، L363، LP1، JJN3، KMM1

### جهت تصدیق هویت رده‌ها

نادر وظیفه شیران (MSc)<sup>۱\*</sup>، سعید آبرون (PhD)<sup>۱</sup>

<sup>۱</sup> گروه خون‌شناسی آزمایشگاهی و علوم انتقال خون، دانشکده پزشکی، دانشگاه تربیت مدرس، تهران، ایران

(دریافت مقاله: ۹۸/۴/۱۶ - پذیرش مقاله: ۹۸/۵/۳۰)

#### چکیده

زمینه: در بیشتر تحقیقات پره‌کلینیکال که از رده‌های سلولی مربوط به بیماری‌ها استفاده می‌شود، می‌بایست ابتدا رده‌ها تصدیق و تعیین هویت شوند تا هزینه‌های پژوهش صرف سلول ناجا نشده و نتایج حاصل، غیرمرتب نباشد. در این تحقیق شش رده سلول میلومای انسانی (HMCL) به منظور تعیین هویت، از نظر ایمونوفوتایپ و ایمونوتایپ ارزیابی شدند.

مواد و روش‌ها: برای بررسی مورفو‌لوزی از گستره سیتواسپین و رنگ رایت، برای ایمونوفوتایپ از فلوسايتومتری مارکرهای CD2، CD45، CD19، CD38 و بررسی وضعیت ترشحی و ایمونوتایپ، از کاپیلاری الکتروفورز و ایمونوفیکساسیون استفاده گردید.

یافته‌ها: با توجه به مورفو‌لوزی مشخص پلاسماسل، ماهیت همه رده‌های سلولی تأیید شد ولی L363 و JJN3 شباهت مورفو‌لوزی بالایی داشتند. در بررسی ایمونوفوتایپ، گذشته از تأیید ماهیت میلومایی همه رده‌ها، شباهت کاملی بین دو رده L363 و JJN3 مشاهده گردید، برای تأیید نهایی، ایمونوتایپ آن‌ها نیز انجام شد که KMM1 غیرترشحه، KMS12BM به صورت IgG-λ و مابقی به صورت IgG-λ بودند.

نتیجه‌گیری: هویت ۴ رده سلولی KMM1، KMS-12BM، RPMI-8226 و LP1 پس از بررسی، تأیید شد ولی هویت دو سلول JJN3 و L363 به دلیل شباهت اساسی در مورفو‌لوزی، ایمونوفوتایپ و ایمونوتایپ مورد تردید قرار گرفت. در بررسی ما، ایمونوتایپ هر دو IgG-λ بودند، این درحالی است که طبق اطلاعات حاصل از مقالات و سایت ATCC.org، ماهیت اصلی JJN3 به صورت IgAκ می‌باشد. لذا اصالت و ماهیت JJN3 مخدوش و در واقع همان رده L363 بوده است. بدین ترتیب رده JJN3 کنار گذشته شد و نتایج آن برپایه همسانی با نتایج L363 تفسیر گردید.

واژگان کلیدی: رده سلولی، HMCL، میلوما، تصدیق هویت، ایمونوفوتایپ، ایمونوتایپ

تنها مورفولوژی حد واسط بین لنفوسيت و پلاسموسیت پیدا می‌کنند (لنفوپلاسماسیتوئید)، بلکه دچار جهش سوماتیک و تعویض کلاس آنتی‌بادی نیز نشده و فقط IgM می‌سازد. SL-PC‌ها منشاء بیماری ماکروگلوبولینی والدنشتروم (WM) یا لنفوپلاسماسیتوئیدی و -LL-PC‌ها منشاء بیماری‌های MGUS، مالتیپل میلوما و لنفوپلاسم می‌باشند که به LL-PC‌های بدخیم غمز استخوان، سلول‌های میلومایی نیز گفته می‌شود. لنفوپلاسم سلول میلومایی منجر به تولید انبوهی از ایمونوگلوبولین‌های کامل (IgH+IgL) یا ناقص (IgH یا IgL) می‌شود که فرم ناقص IgH باعث بیماری زنجیره سنگین (HCD) و فرم ناقص IgL باعث مالتیپل میلوما با گاماتی پروتئین بنس جونز (BJP-MM) می‌شود. فرم کامل ایمونوگلوبولین نیز بر اساس نوع گاماتی به انواع IgG (۵۲ درصد)، IgA (۲۲ درصد)، BJP (۱۵ درصد)، IgD (۱۰ درصد)، IgE (۱ درصد) و IgM (۴ درصد) تقسیم می‌شود.<sup>(۴)</sup>.

برای تحقیق بر روی بیماری میلوما می‌بایست جمعیت آماری خود را از نمونه بیمار، مدل‌های حیوانی، سلول‌های اولیه جدا شده از بدن بیماران یا رده سلول‌های میلومایی انتخاب نمود. کار بر روی نمونه انسان به جهت کم بودن شیوع میلوما، انتخاب نمونه‌های تازه تشخیص درمان نشده، عدم همکاری یا عدم دسترسی بیماران، فوت برخی بیماران، کسب رضایت‌نامه و رعایت اخلاق پزشکی دشوار بوده و البته جداسازی سلول‌های میلومایی از آن‌ها برای کشت اولیه نیز به دلیل عمر کوتاه سلول‌ها دشوار بوده و به مهارت بالای محقق و تکنولوژی‌های پیچیده کشت سلولی نیاز دارد، تحقیق بر روی حیوانات آزمایشگاهی نیز به جهت عدم امکان تعیین تمامی

## مقدمه

لنفوپلاسم‌های خونی به انواع لنفو (۵۳ درصد)، لوسومی (۳۲ درصد) و دیسکرازی‌های پلاسماسل (۱۵ درصد) تقسیم می‌شوند که در بین دیسکرازی‌ها، گاماتی مونوکلونال با اهمیت نامعین (MGUS) و مالتیپل میلوما (MM) با ۶۲ و ۲۱ درصد بیشترین شیوع را دارند (۱). مالتیپل میلوما به دلیل داشتن ترداد CRAB<sup>۱</sup> یا هیپرکلسیمی (C)، نارسایی کلیوی (R)، آنمی پیشروندۀ (A) و ضایعات لیتیک استخوانی (B) از اهمیت بالایی برخوردار می‌باشد (۲). پلاسماسل‌ها، سل‌های بعد مرکز زایا در غدد لنفاوی هستند که بعد برخورد با آنتی‌ژن و سیتوکاین‌های مترشحه از T-کمکی و طی چند مرحله به پلاسماسل تمایز می‌یابند. در واقع برخی از T سل‌های فعل شده در خارج فولیکول مانده و با تولید سیتوکاین باعث تمایز برخی از B سل‌های تکثیر شده به پلاسماسل‌های کوتاه عمر (SL-P.cell)<sup>۲</sup> می‌شوند، CCR7 برخی T سل‌ها نیز با بیان CXCR5 و کاهش وارد فولیکول شده و تشکیل T سل‌های کمکی فولیکولار را می‌دهند که برهم‌کنش آن‌ها با B سل‌های تکثیر شده داخل فولیکول منجر به تمایز تدریجی آن‌ها به سنتربلاست، سنتروسیت، ایمونوبلاست، پلاسمابلاست، پلاسماسل عمر بلند (LL-P.cell) و B-خاطره می‌شود (۳). پلاسماسل‌های عمر بلند به دلیل مهاجرت و استقرار APRIL در نیچ BM و دریافت فاکتورهای رشد IL-6، BAFF، IGF-1، IL-21، APRIL تا سال‌های طولانی زنده مانده، مورفولوژی کامل پلاسماسلی پیدا کرده و باعث تولید IgG و دیگر ایزوتایپ‌های آنتی‌بادی می‌شوند ولی SL-PC به دلیل منشاء غیر مرکز زایا، عدم دریافت سیگنال CD40L و عدم مهاجرت به BM، نه

<sup>1</sup> CRAB- hyperCalcemia, Renal failur, Anemia or lytic Bone lesions]

<sup>2</sup> Long Lived-Plasma Cell and Short Lived-Plasma Cell

## مواد و روش‌ها

### - کشت و آماده‌سازی سلول‌ها

رده‌های HMCL مورد استفاده در این مطالعه بینایی-کاربردی، شامل L363، RPMI-8226، KMM1، LP1، KMS-12BM و CO2 دار ۵ درصد با دمای ۳۷ درجه سانتی‌گراد و رطوبت ۸۵ درصد) و در محیط کشت RPMI-1640 (شرکت زیست فناوری کوثر) ساپلمنت با ۱۰ FBS درصد، ۱۰۰ واحد بر میلی لیتر پنی‌سیلین و ۱۰۰ میکروگرم بر میلی لیتر استرپتومایسین کشت داده شدند. سلول‌ها بلا فاصله به محض رسیدن از لندن به تهران، به آزمایشگاه کشت سلولی انتقال داده شدند. در اولین اقدام وايابيليتی و مورفولوژي سلول‌ها به کمک تست تریپان بلو ۰/۴ درصد مورد آنالیز قرار گرفتند که متأسفانه به دلیل شرایط نامساعد ارسال، حیات سلول‌ها کمتر از ۱۰ درصد بوده و اغلب سلول‌ها وارد فاز آپوپتوzیک شده بودند. بدین ترتیب سلول‌ها با محیط کشت RPMI مورد شستشو قرار گرفتند تا مواد آپوپتوz حذف شوند. سپس لشه‌های سلولی القاء‌گر آپوپتوz حذف شوند. سلول‌ها به صورت سریالی رقیق‌سازی شدند تا به حد ۹۶-۱ سلول در ۱۰۰ میکرولیتر در هر چاهک پلیت خانه برسد. در نتیجه چاهک‌هایی که در آن‌ها به صورت رندوم ۱-۱ سلول زنده قرار گرفته بودند، شروع به تکثیر نموده ولی چاهک‌های فاقد سلولی شدند. در ادامه چاهک‌های نهایی و تخریب کامل سلولی شدند. در تکثیر شده که در مجموع چند مورد بودند، باهم به یک چاهک پلیت ۴۸ خانه انتقال یافتند و با تکثیر بیشتر سلول‌ها به مرور از چاهک ۲۴W، ۱۲W و ۶W استفاده کرده و نهایتاً سلول‌ها به فلاسک T25 منتقل شدند. به دلیل حساس بودن سلول‌ها، بلا فاصله از آن‌ها فریز تهیه و به ازت مایع انتقال پیدا کردند. بعد از چند پاساژ و با

نتایج به انسان، اختلافات فیزیولوژیک، گران بودن مدل‌های مذکور (موش KalwRij C57BL یا ۵T2MM و ۵T33) با رده‌های سلولی پیوند با رعایت اخلاق پزشکی با محدودیت‌هایی همراه بوده و از طرفی موش به میلوما مبتلا نشده و فقط پلاسماسیتوما ایجاد می‌کند، لذا امروزه برای بیشتر تحقیقات پایه و کارآزمایی‌های پیش‌بالینی بر روی میلوما (مثل تأثیر دارویی، سیگنانلینگ داخل سلولی، بررسی ساختار سلولی و بر همکنش بین سلولی) از رده‌سلول میلومای انسانی (HMCL) استفاده می‌شود که با توجه به تنوع وسیع در بیماری میلوما، رده‌های حاصل از آن‌ها نیز بسیار متنوع می‌باشند. با توجه به هزینه بالای مطالعات مذکور، اولین اقدام برای کار روی رده‌های سلولی، شناسایی و تعیین هویت آن‌ها می‌باشد که برای این منظور یا از سلول‌های تجاری شناسنامه‌دار استفاده شده یا اینکه می‌باشد شخصاً اقدام به تعیین هویت آن نمود. درواقع به دلیل آلودگی یک سلول با سلول‌های دیگر یا به دلیل تغییرات ناشی از پاساژهای مکرر می‌باشد خصوصیات افتراقی یک سلول را مورد آنالیز قرار داد. در این تحقیق به تعیین هویت و خصوصیات ایمونوفوتایپ (از نظر CD مارکرهای) و ایمونوتایپ (از نظر نوع و کلاس آنتی‌بادی مترشحه) شش رده میلومایی- KMS12، LP1، L363، KMM1، BM و JJN3 فاقد شناسنامه و اهدایی از دانشگاه کالج لندن (UCL) پرداخته می‌شود تا در صورت تصدیق، مورد استفاده پژوهشگران قرار بگیرد. به دلیل عدم استفاده از نمونه بالینی، ملاحظات اخلاقی خاصی در این تحقیق وجود نداشت و آنالیز آماری یافته‌ها و مشاهدات نیز به صورت توصیفی و طی تطبیق آن‌ها با مقالات معتبر صورت گرفت.

سلولی در بافر بدون کلسیم و منیزیم PBS-A سوسپانسه شدند. در بررسی سلول‌های خونی حاوی  $\text{FC}\gamma\text{R}$ ، این احتمال وجود دارد که آنتی‌بادی‌ها از طریق Fc خود به رسپتورهای فوق متصل شده و باعث رنگ‌آمیزی غیراختصاصی سلول‌ها شوند، لذا برای بلوکه کردن رسپتورهای مذکور، ۱۰۰ میکرولیتر از BSA به هر یک میلیون سلول افزوده و سلول‌ها به مدت ۳۰ دقیقه در دمای RT انکوبه و نهایتاً در ۱۵۰۰ دور در دقیقه به مدت ۵ دقیقه سانتریفوژ شدند، بعد از حذف مایع رویی، به رسوب سلولی ۱۰۰ میکرولیتر بافر D-PBS خالص یا ساپلمنت با BSA ۳ درصد افزوده می‌شود. به منظور نشان‌دار کردن با آنتی‌بادی فلورسنت، در دو لوله به نام‌های کنترل منفی و نمونه تست،  $100\mu\text{l}$  از سوسپانسیون سلولی فوق افزوده و به ترتیب به هر کدام ۵ میکرولیتر آنتی‌بادی کنترل و آنتی‌بادی‌های ضد CD45، CD19 (دانمارک) افزوده و لوله‌ها به مدت ۳۰ دقیقه در دمای ۴ درجه یخچال و در تاریکی انکوبه شدند. از آنجایی که آنتی‌بادی‌ها به جز اپی‌توب اصلی، اتصال به اپی‌توب‌های غیراختصاصی و اتصال غیروابسته به Fab نیز دارند، لذا در لوله کنترل منفی ایزووتایپ، از همان جنس آنتی‌بادی و از همان نوع حیوان (مثلاً IgG1 موشی) ولی علیه یک اپی‌توب غیرمرتبط استفاده می‌شود تا اگر علی‌رغم استفاده از بلوکان، مختصر اتصال غیراختصاصی نیز وجود داشته باشد، مقدار آن تعیین شده و از پالس‌های حاصل از لوله نمونه کم شود. پس از انکوباسیون، به هر لوله ۵۰۰ میکرولیتر بافر شوینده D-PBS افزوده و سپس سانتریفوژ و محلول رویی اوت و به آن ۲۰۰ میکرولیتر بافر PBS افزوده و طی کمتر از یک ساعت قرائت می‌شود. لکوسیت‌ها به دلیل داشتن مقادیر بالای NADH و FADH، دارای خاصیت اتوفلورسنت بوده و لذا حین

توجه به خصوصیات سلول‌های میلومایی، لاین‌های فوق از نظر چهار ویژگی مورد آنالیز قرار گرفتند:  
بررسی مورفولوژی میلومای سلولی  
بررسی ایمونوفوتایپ و CD مارکرهای سلولی  
بررسی توانایی ترشح ایمونوگلبولین یا BJP  
بررسی ایمونوتایپ و کلاس آنتی‌بادی مترشحه به روش ایمونوفیکساسیون

- **تهیه گستره با دستگاه سیتواسپین**  
برای تهیه گستره ابتدا روی یک لام شیشه‌ای، کاغذ صافی پانچ شده مخصوص را به همراه فونل قیفی قرار داده و هر دو در جایگاه مخصوص سیتوسپ قرار داده شد. سپس ۱۰۰ میکرولیتر سوسپانسیون سلولی درون قیف‌فونل ریخته و قیف به صورت عمودی در بازوها در دستگاه سیتواسپین Shandon-III (England) قرار داده شد، سپس دستگاه را به مدت ۵ دقیقه با سرعت ۱۲۰۰ دور در دقیقه سانتریفوژ کرده تا حین چرخش، هوا از دهانه قیف وارد و سوسپانسیون سلولی را به فرم افسانه یا اسپری تبدیل کند، از طرفی دیگر نیروی سانتریفوژ باعث پخش شدن سوسپانسیون بر روی سطح لام شده و کاغذ صافی نیز مازاد افسانه سلولی را جذب و از روی هم نشستن سلول‌های مازاد جلوگیری می‌کند. باد و جریان هوای تشکیل شده در سیتواسپین باعث خشک شدن سریع گستره شده و از تشکیل آرتفیکت جلوگیری می‌کند. لام‌های تهیه شده با متابول ۹۹/۵ درصد فیکس و به کمک دستگاه Ames (USA) و رنگ رایت (مرک-آلمان)، رنگ‌آمیزی و سلول‌ها مورد بررسی مورفولوژی قرار گرفتند.

- **آماده‌سازی نمونه برای فلوسایتومتری**  
سلول‌ها به آرامی پیپتاز شده و بعد از فیلتر و حذف سلول‌های بهم چسبیده، برای جلوگیری از اگرگاسیون

کشت، ابتدا مقدار پروتئین آن تعیین و سپس درصد فرaksiون گاما یا بتای بیمار در آن ضرب شده و مقدار باند گاما یا بنس جونز بیمار مشخص می‌شود. سپس ۵ میلی‌لیتر محیط کشت با سرعت ۵۰۰۰ دور در دقیقه به مدت ۱۰ دقیقه سانتریفوژ و محلول رویی جدا می‌شود. از آنجایی که غلظت پروتئین محیط کشت زیر ۱۰۰ میلی-گرم بر دسی‌لیتر بود، مقدار ۲ میلی‌لیتر از محیط کشت با ۱۸ میلی‌لیتر آب مقطر رقیق و به فیلتر Vivaspin انتقال داده می‌شود. سپس لوله به مدت ۴۰ دقیقه با قدرت ۴۰۰۰g سانتریفوژ می‌شود تا حجم محیط کشت به ۰/۵ میلی‌لیتر برسد. محیط کشت را هموژن کرده و ۲۰ میلی‌لیتر بافر دیالیز (یک حجم محلول استوک + یک حجم DW) به آن افزوده و بعد از بالانس کردن، مجدداً به مدت ۴۰ دقیقه با قدرت ۴۰۰۰g سانتریفوژ می‌شود تا حجم محیط کشت تغییض - دیالیز شده به ۰/۵ میلی‌لیتر برسد و اگر حجم کمتر بود با بافر دیالیز حجم را به مقدار مذکور رسانده و سپس مخلوط را هموژن و ۱۰ میکرولیتر محلول دیالیز با ۱۰ میکرولیتر نمونه و ۱ میکرولیتر آنتی‌سرا مخلوط و به دستگاه داده می‌شود. در این مرحله انواع آنتی‌سراهای ضد زنجیره سنگین IgG، IgM، IgA و ضد زنجیره سبک Ig $\kappa$  و Ig $\lambda$  به ترتیب به نمونه تغییض - دیالیز شده افزوده می‌شود تا امکان تشکیل کمپلکس بین دو آنتی‌بادی فراهم شود. این روند به دلیلی سنگینی دایمر دو ایمونوگلبولین و عدم حرکت در جایگاه قبلی، باعث حذف یا کاهش باند ایمونوگلبولینی قبلی و در نتیجه شناسایی آنتی‌بادی مونوکلونال درگیر در بیماری می‌شود (کمپلکس آنتی‌بادی - آنتی‌سرا نیز به دلیل حرکت شدیداً آنودتیک بین آلبومین و  $\alpha 1$  و حتی در داخل یا جلوی آلبومین قرار می‌گیرد). حال اگر نمونه‌ای دارای IgG با زنجیره سبک لامبدا باشد، از بین آنتی‌سراهای فوق، فقط آنتی‌بادی ضد IgG و آنتی‌بادی ضد Ig $\lambda$  قادر

تنظیم کترل منفی ایزوتابپ، می‌باشد سیگنال غیراختصاصی و Unstained سلول‌ها از سیگنال اختصاصی و اصلی ناشی از لیبل سازی حذف شود. در این تحقیق از دستگاه BD-FACS Calibur (امریکا) دانشکده داروسازی دانشگاه علوم پزشکی شهید بهشتی استفاده گردید. با توجه به رده و هموژن بودن سلول‌ها، نیازی به گیتینگ رده خاص نبوده و سلول‌ها بعد از تنظیمات دستگاه و قرائت نمونه کترول ایزوتابپ منفی، در پنجره FL1:FITC vs FL2:PE FSC vs SSC FSC:A vs FSC:H به دو توسط CD38، CD19، FSC، CD45، CD138 و CD2 مورد آنالیز قرار گرفتند.

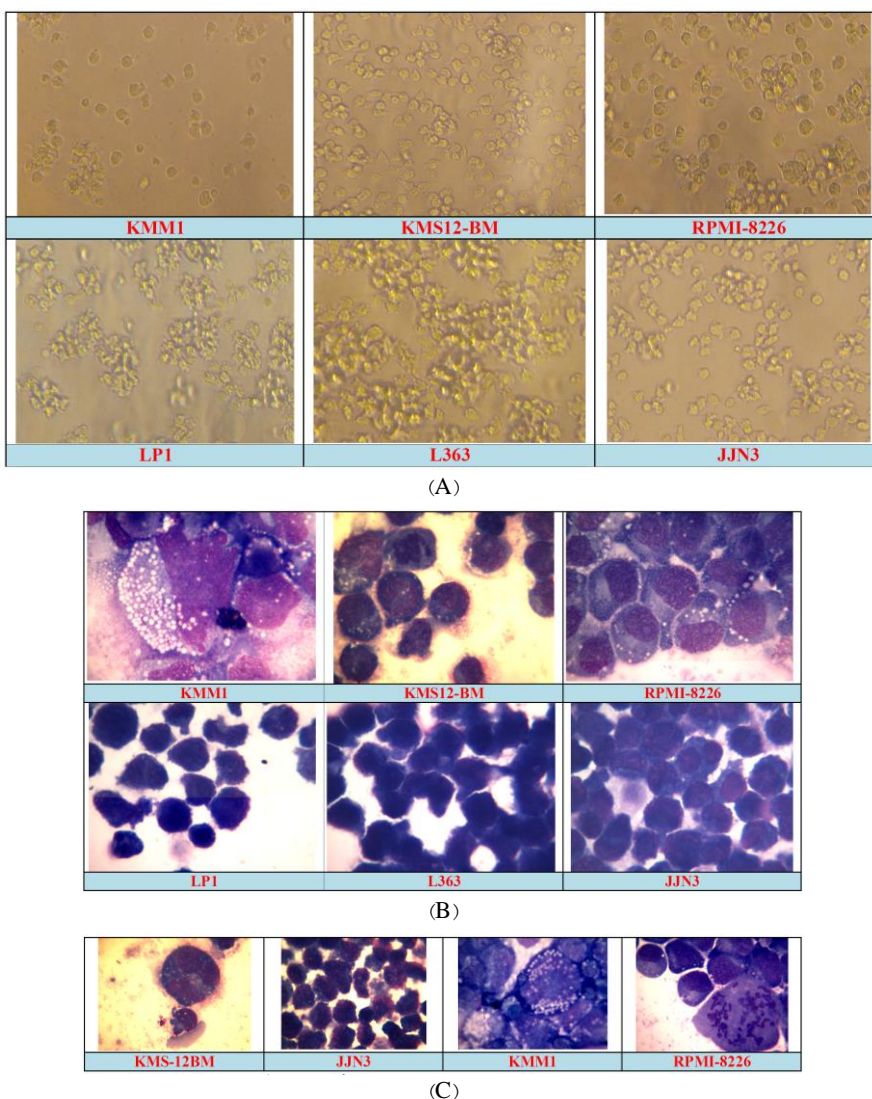
- ایمونوتایپ رده سلول‌های میلومایی برای ایمونوتایپ سلول‌ها از دستگاه کاپیلاری الکتروفورز MiniCAP Sebia (فرانسه) استفاده گردید. در این روش الکتروفورز محیط کشت رویی تغییض شده در یک میدان الکتریکی با ولتاژ بالا، دمای ثابت و دقیق و در حضور بافر قلیایی (pH:9.9) انجام، شناسایی و سنجش دقیق باندهای پروتئینی تفکیک شده توسط جذب UV:200nm در انتهای کاتدیک کاپیلاری و با نرمافزار Capillarys ویرایش ۵/۵ انجام می‌شود. در این دستگاه ۶ کاپیلاری وجود دارد که هم‌زمان در یکی سرم به همراه بافر الکتروفورز و در ۵ کاپیلاری دیگر به جز دو مورد مذکور، آنتی‌سرا ضد  $\gamma$ ،  $\mu$ ،  $\alpha$ ،  $\kappa$  و  $\lambda$  افزوده می‌شود. از آنجایی که محیط کشت حاصل از کشت سلول‌ها، رقت بسیار محدودی از پروتئین داشته و شناسایی آن‌ها روندی دشوار است، لذا در وحله اول اقدام به تغییض و دیالیز پروتئین محیط رویی کشت گردید که برای این منظور از لوله‌های فالکون حاوی فیلتر مخصوص VivaSpin استفاده گردید. در مورد محیط

می‌شدند (شکل 1A). رده LP1 از نظر پلئومورفیک و چندضلعی بودن و گاهًا کشیدگی، شباهت بالایی به دو رده L363 و JJN3 داشته ولی به صورت کاملاً سوسپانسه بوده و میل به چسبندگی نداشت. لذا برای بررسی دقیق‌تر ساختار داخلی سلول، می‌بایست از سلول‌ها گستره سیتواسپین تهیه و رنگ‌آمیزی می‌شد. بعد از تهیه سیتواسپین از هر رده میلومایی و رنگ‌آمیزی رومانفسکی رایت بر روی آن‌ها، در رده KMM1 علاوه‌بر منظره کلاسیک میلوما، تعداد زیادی راسل‌بادی و سلول‌های پلی‌پلئینیدی بزرگ نیز رؤیت شد و در مجموع منشاء میلومایی رده سلولی KMS-12BM از نظر سیتولوژی تأیید شد. در رده علاوه‌بر مورفولوژی میلومایی تعداد زیادی اشکال میتوتیک (سلول‌های در حال میتوز) و سلول‌های کلاسیک‌ترین مورفولوژی میلومایی به همراه زون گلثی در رده RPMI-8226 دیده شد که البته تعدادی واکوئل راسل نیز در سیتوپلاسم سلولی مشهود بود. سه رده L363، JJN3 و LP1 علی‌رغم داشتن مورفولوژی میلومایی و گاهًا دو هسته‌ای، شباهت بالایی با همدیگر داشتند. از این رو امکان Cross-Contamination مطرح گردید که جهت افتراق آن‌ها، می‌بایست نتایج ایمونوفوتایپ سلولی از نظر CD مارکرها و نوع ایمونوگلبولین و زنجیره سبک درگیر نیز مورد آنالیز قرار بگیرند.

خواهند بود پیک مربوط به باند گاماگلبولین را نسبت به شرایط کنترل حذف کرده یا کاهش بدهد و افزودن دیگر آنتی‌بادی‌ها مانع از تشکیل پیک مربوطه نخواهد شد. آنالیز محیط کشت می‌بایست با آپشن مخصوص ادرار و انتخاب Ratio Urine انجام شود که خود نرم‌افزار نمودار الکتروفورز اولیه را با نمودار بعد از تشکیل کمپلکس آنتی‌سرا- آنتی‌بادی همپوشانی و ادغام می‌کند.

### یافته‌ها

علی‌رغم تأیید مورفولوژی میلومایی در رده‌ها، دو رده L363 و JJN3 شباهت اساسی با یکدیگر داشتند: اولین اقدام برای بررسی مورفولوژی سلولی، ارزیابی شکل سلول‌ها در محیط کشت توصیه شده RPMI-1640 توسط بانک سلولی ATCC بود. از آنجایی که سلول‌های خونی حالت سوسپانسه داشته و این محیط کشت نیز حاوی حداقل مقدار کلسیم مورد نیاز برای چسبیدن سلول‌ها می‌باشد، لذا هر ۶ رده سلولی به L363 صورت سوسپانسه بودند، با این وجود دو رده JJN3 و L363 به صورت نیمه چسبنده بوده و با یک پی‌پتاژ قوی یا ضربه کف فلاسک به سطح میز از فلاسک کنده و سوسپانسه می‌شدند (بدون نیاز به تریپسین، آکرناز یا EDTA). سه رده KMM1، RPMI-8226 و KMS-12BM به صورت گرد، صاف و هم سایز لیفوسيت بودند ولی سلول‌های JJN3 و L363 علاوه بر شکل مثلثی یا چند ضلعی و میل به چسبندگی سیست، گاهًا به شکل کشیده و استوانه‌ای نیز دیده



شکل ۱) بررسی مورفولوژی میلومایی در سل لاین‌های مورد بررسی A: بدون رنگآمیزی، B: رنگ آمیزی رایت از گستره سیتواسپین که در ردیف C نیز به چند شکل خاص تأکید شده است.

یا ضعیف (۱۴/۰ درصد) بوده و مارکر CD45 نیز در دو رده KMS-12BM و RPMI-8226 مثبت قوی (۹۹-۹۴ درصد) و در چهار رده دیگر مثبت ضعیف یا منفی (۱۵-۴ درصد) بود، لذا ایمونوفوتایپ میلومایی هر شش رده تأیید شد. با این وجود، شباهت بالای دو رده L363 و JJN3 از نظر CD مارکرهای میلومایی نیز تأیید شد. البته بیان مختصّری بالاتر CD19 در LP1 (۷/۱۲ درصد) در مقایسه با L363 (۳/۳ درصد) و JJN3 (۷ درصد)

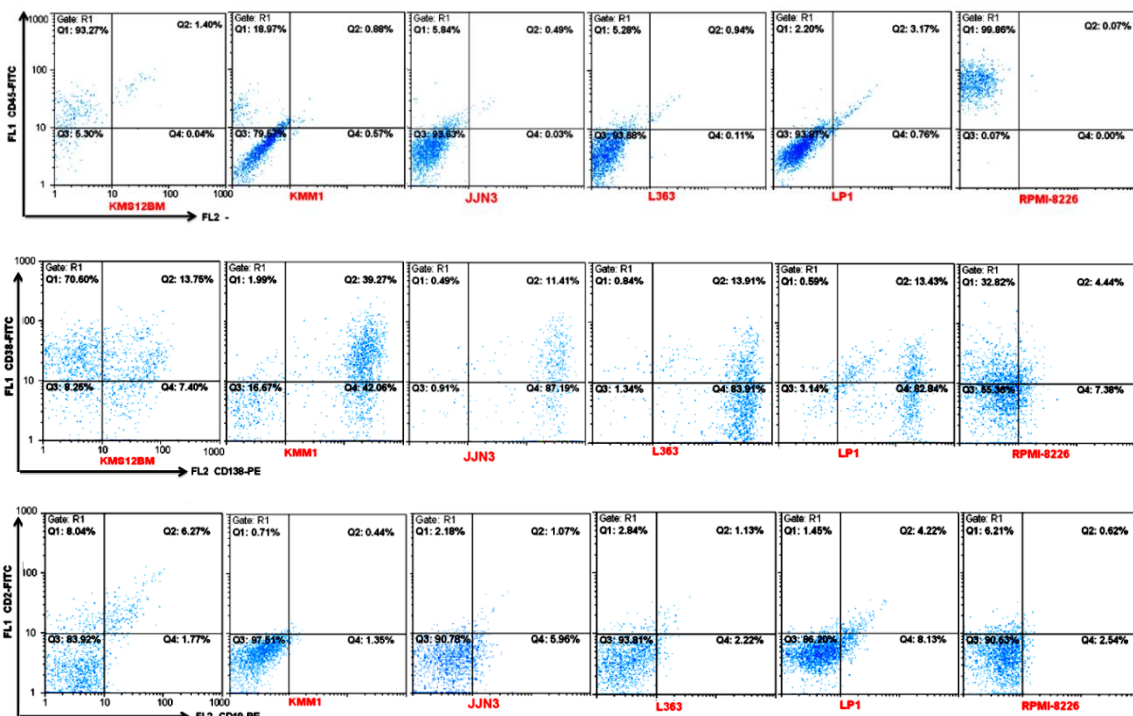
نتایج ایمونوفوتایپ میلومایی حاکی از شباهت دو رده L363 و JJN3 بود: برای ایمونوفوتایپ CD138، CD38، CD45، CD138، CD38، CD19 مورد آنالیز FCM قرار گرفتند (جدول ۱) که دو مارکر CD138 و CD38 در رده‌های ۸۱-۹۸ L363، JJN3 و KMM1، LP1 مثبت قوی (۹۸-۸۱ درصد) بودند درصد بیان) و در دو رده KMS-12BM و RPMI-8226 مثبت ضعیف (۲۰-۱۰ درصد) بودند (شکل ۲). مارکر CD19 و CD2 در هر ۶ رده منفی

از سلول‌ها (ایمونوتایپ) گردید تا قضاوت نهایی انجام شود.

می توانست افتراق دهنده باشد. برای حل ابهام، اقدام به بررسی نوع ایمونو گلوبولین و زنجیره سیک متر شرحه

**جدول ۱) نتایج شماش، بقاء، مورفولوژی، دوبلینگ تایم و ایمونوفوتایپ سلول‌های رده میلومایی HMCL**

CD138	CD38	CD19	CD2	CD45	مورفولوژی	زمان دوبلینگ (ساعت)	زنده مانی	HMCL
۲۱	۸۴	۸	۱۴	۹۵	گرد، کوچک، غیرچسبنده	۵۸	۹۸	<b>KMS12BM</b>
۸۱	۴۱	۰/۹	۰/۲	۱۵	گرد، کوچک، غیرچسبنده	۳۲	۹۸	<b>KMM1</b>
۹۸	۱۵	۴	۴	۶	چندضلعی، کوچک، نیمهچسبنده	۲۷	۸۷	<b>L363</b>
۹۸	۱۲	۷	۳	۶	چندضلعی، کوچک، نیمهچسبنده	۲۵	۹۲	<b>JJN3</b>
۹۶	۱۴	۱۳	۶	۴	چندضلعی، کوچک، غیرچسبنده	۵۵	۸۵	<b>LP1</b>
۱۳	۳۷	۴	۶	۹۹	گرد، کوچک، غیرچسبنده	۳۶	۱۰۰	<b>RPMI-8226</b>



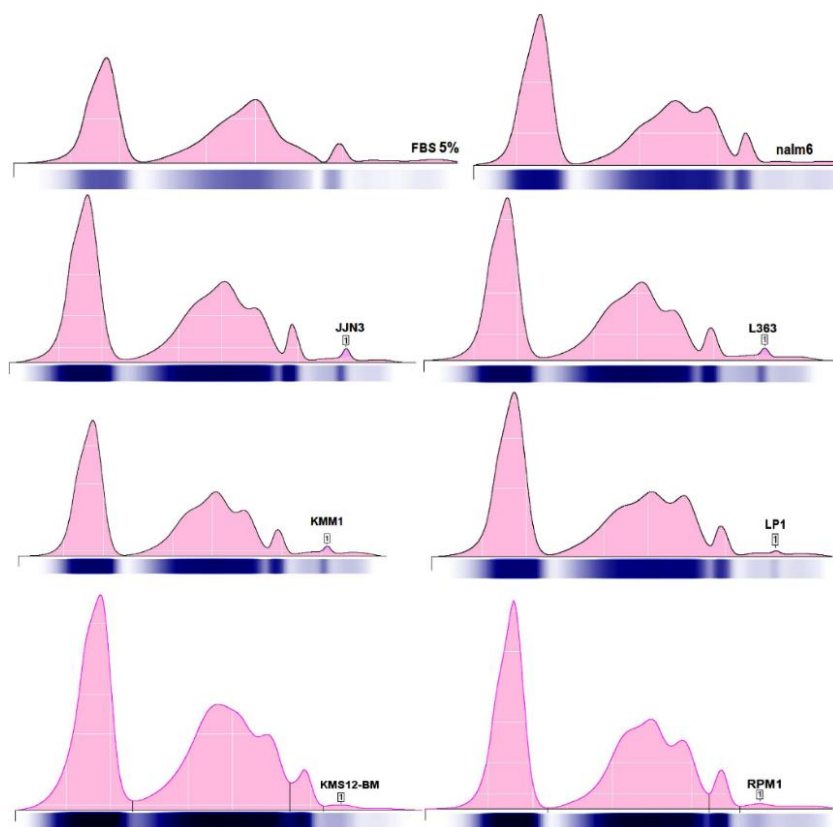
شكل (2) خصوصیات ایمونوفوتوتایپی رده KMM1، CD45+CD38+CD138+CD19-CD2-، KMS12BM، CD45-CD38++ CD138+، CD19-، CD45-CD38+CD138++CD19-CD2-، L363، CD45-CD38+CD138++CD19-CD2-، JJN3، CD45-CD38+CD138++CD19-CD2-، LP1، CD45-CD38+CD138-CD2-، RPML-8226 و رده CD45-CD38+CD138+CD19-CD2-، می‌باشند که غالباً به دلیل عدم بیان CD19 و بیان قوی CD38 و CD138، میلوما مایع بودن سلول‌ها را تأیید می‌کنند.

روز در محیط کشت RPMI-1640 توانم با ۵ درصد سرم FBS کشت شده و محلول رویی با کاپیلاریکلتوفورز مورد بررسی قرار گرفت. همزمان از محیط

نتایج ایمونوتایپ سلول‌های میلومایی، نشانگر غیر مترشحه بودن رده KMS12BM بود: برای تعیین نوع ایمو بوگلوبولین ترشح شده از رده‌ها، سلول‌ها به مدت ۳

و مشاهده باند تیز M، وجود هر باند باریک و پر رنگ در منطقه  $\gamma$ -گلبولین و در مقایسه با نمونه کنترل در FBS ۵ درصد در RPMI و رده Nalm-6 (فاقد توانایی ترشح آنتی‌بادی) به عنوان باند M مدنظر قرار گرفت (شکل ۳).

کشت توأم با FBS ۵ درصد استفاده نشده نیز به عنوان کنترل منفی استفاده شد. FBS به دلیل غیرفعال‌سازی در دمای ۵۶ درجه فاقد کمپلمان بوده ولی مثل هر سرم نرمالی مقادیر اندکی باند گاما‌گلبولین پلی‌کلونال دارد که می‌بایست از باند گاما‌ای ترشح شده از رده‌های میلومایی افتراق داده شود. در بررسی تولید آنتی‌بادی مونوکلونال



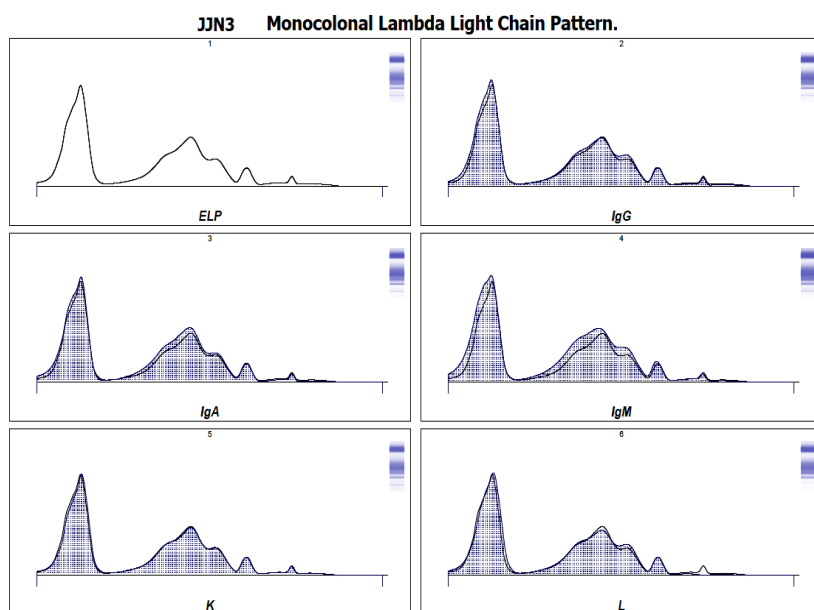
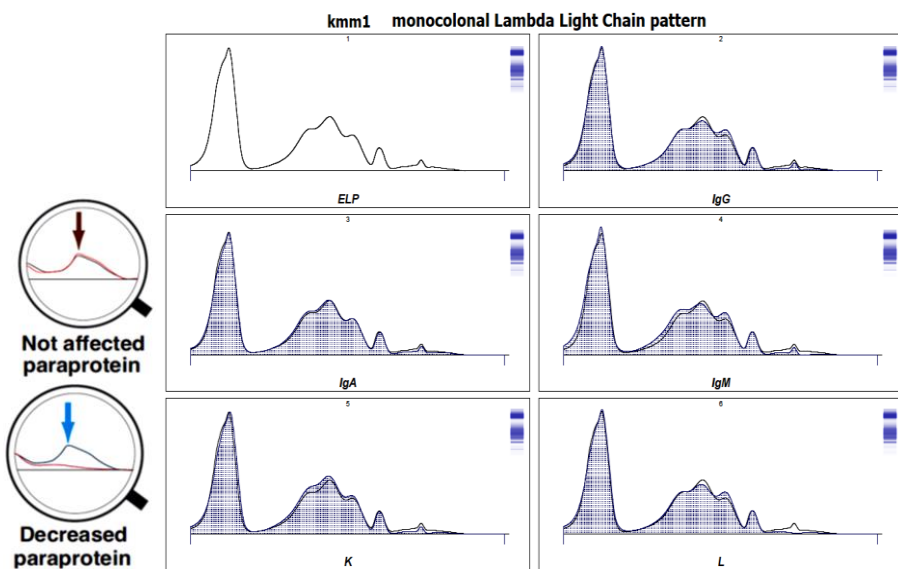
شکل ۳ الکتروفورز مایع رویی رده‌های مختلف میلومایی به همراه محیط کشت حاوی ۵ درصد (به عنوان کنترل منفی) که LP1 JJN3 L363 و RPMI دارای باند مونوکلونال و شارپ بودند ولی Nalm6 (رده Pre-B-ALL) به دلیل غیرپلاسمال بودن KMS12BM به دلیل غیرمترشحه بودن و نمونه کنترل FBS به دلیل نداشتن سلول میلومایی، فاقد باند M می‌باشد.

ایمونوتایپ باند M ایمونوفیکساسیون نمونه با آنتی‌سراهای ضد زنجیره  $\gamma$ ,  $\mu$ ,  $\alpha$ ,  $\kappa$  و  $\lambda$  انجام شد (شکل ۴). از نظر محدودیت به زنجیره سبک، رده L363 پروتئین BJP نوع  $\lambda$  سه رده JJN3 و KMM1 و RPMI-8226، ایمونوگلبولین IgG با زنجیره  $\lambda$  و رده‌های KMS12BM و Nalm6 به دلیل عدم ترشح

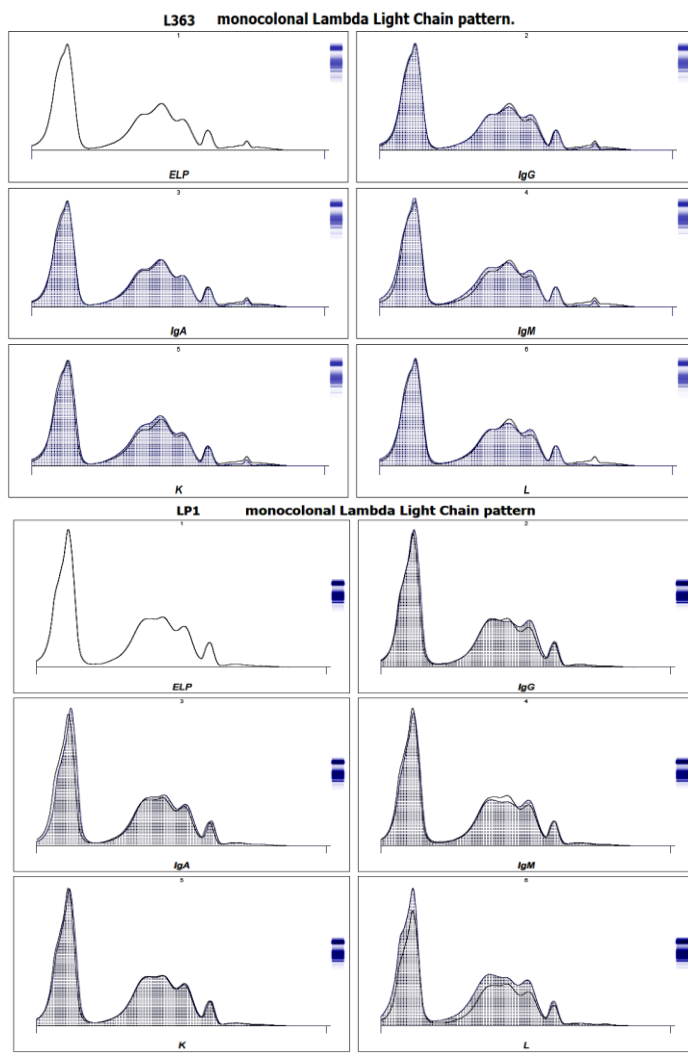
بدین ترتیب سلول‌های L363 JJN3 KMM1 و L363 KMM1 و LP1 باندهای شارپ M و دو رده 8226 و RPMI-8226 باندهای نسبتاً ضعیف ولی قطعی را نشان دادند ولی از آنجایی که ایمونوفوتایپ و مورفولوژی میلومایی مشخصی داشتند، لذا شکی در هویت آن‌ها وجود نداشت. در مرحله بعد به منظور

دارد که نسبت آن در LP1 به صورت ۲/۵ به ۵۶/۹، در RPMI-8226 به صورت ۲/۶ به ۷/۵، در L363 به صورت ۲/۸ به ۱۲۶، در JJN3 به صورت ۲/۶ به ۸۵/۷ در KMM1 در KMS12BM به صورت ۲/۸ به ۵/۳ و در به صورت ۲/۶ به ۸/۵ بود.

آنچه بادی، قادر توانایی ایمونوفیکساسیون بودند. در رده LP1 نیز افت چندانی در هیچ کدام از دو زنجیره  $\kappa$  و  $\lambda$  رؤیت نشد و حالتی مشابه پلی کلونال مشاهده گردید که به دلیل پیک بسیار کوتاه گاما، می‌تواند کاذب باشد. این دستگاه و این روش قدرت بیان نسبت  $\kappa:\lambda$  را هم



شکل ۴) ایمونوتایپ ترشحات موجود در سوپرناتانت رده‌های مختلف میلومایی که KMM1 به صورت  $\lambda$ -BJP-1 و رده RPMI و JJN3-L363-LP-1 به صورت  $\kappa$ -IgG $\lambda$  بودند. در این روش، اگر نوع زنجیره سینگل ایمونوگلوبولین مثلاً از نوع گاما و زنجیره سبک از نوع لامدا باشد، آنتی بادی ضد این دو زنجیره در برخورد با آن‌ها تشکیل کمپلکس و رسوب داده و لذا در مقایسه با الکتروفورز اولیه (ELP) دچار کاهش پیک می‌شود که در مثال فوق IgG $\lambda$  تأیید شده است.



شکل ۴) ادامه تصویر قبل

جدول ۲) خصوصیات رده‌های سلولی مورد استفاده در مقاله و دسته‌بندی آن‌ها بر اساس نوع HMCL (۱۲)

رده سلولی	دربستگی به IL-6	تباری چین تغییر پذیر	رده نمونه	پسر	آنژوئی	ترانسلوکاسیون در 22q11 با 14q32	زنگی دار	K/N-Ras کدون ۲۳۱ و ۲۴۱	Myc t(8;14)	P53 (جهش جزء انتها)	CD45	جفت HMCL
JJN3	-	MM	مایع پلور	زن	IgAk	t(14;16)	c-MAF	موتانت	+	غیرطبیعی	+/ -	MF
KMM1	-	MM	زیرجلد	مرد	$\lambda$	t(6;14)	CCND3/mum1	موتانت	+	غیرطبیعی	-	CD2L
KMS12BM	-	MM	مغز استخوان	زن	NS	t(11;14)	CCND1	وحشی	-	غیرطبیعی	-	CD2L
L363	-	PCL	خون محاطی	زن	NS	t(20;22)	Maf-B	موتانت	-	غیرطبیعی	-	CD2L
LP1	-	MM	خون محاطی	زن	IgG $\lambda$	t(4;14)	TGFR3/MMSET	وحشی	-	غیرطبیعی	-	MS
RPMI8226	-	MM	خون محاطی	مرد	IgG $\lambda$	t(14;16)/t(16;22)	c-Maf	موتانت	-	غیرطبیعی	-	MF
U266	-	MM	خون محاطی	مرد	IgE $\lambda$	t(11;14)	CCND1	وحشی	-	غیرطبیعی	+	CAT/FRZB

و در پنجره FSC vs SSC فلوسایتومتری، یک کلون واحد را نشان می‌دهند. بعد از رسیدن به این مرحله، تست‌های سیتوژنتیک و کاریوتایپ (از نظر ناهنجاری‌های کمی و کیفی کروموزومی) و تست‌های وسیع ایمونوفوتایپ (از نظر کلونالیتی و CD مارکرهای مختلف) نیز انجام شده و نتایج آن‌ها به همراه محیط کشت و محیط فریز ایده‌آل استخراج شده و نهایتاً به عنوان یک سلول شناسنامه‌دار نام‌گذاری شده و وارد مسیر تجاری می‌شود. در غنی‌سازی محیط‌های کشت گاهی از مایع آمنیون نیز به دلیل داشتن فاکتورهای رشد متعدد، به جای FBS استفاده می‌شود<sup>(۷)</sup>.

حدود ۱-۴ درصد از سلول‌های BM را پلاسماسل‌ها تشکیل می‌دهند که سلول‌هایی دوکی تا بیضی شکل به اندازه ۱۴-۲۰ میکرومتر، با هسته کوچک و کناری هستند که دارای مقادیر زیاد کروماتین فشرده و پاراکروماتین واضح می‌باشند. هر پلاسماسل می‌تواند ۶۰۰ پیکوگرم در روز از یک نوع ایمونوگلوبولین ترشح کند، در این مرحله، پلاسماسل به دلیل حضور مقادیر بالایی از شبکه اندوپلاسمی، میتوکندری، ریبوزوم و mRNA ایگ‌L و IgH شدیداً بازووفیلیک بوده و به دلیل گلیکولیزیلاسیون ایمونوگلوبولین‌ها در دستگاه گلزاری، دارای یک زون گلزاری مشخص در اطراف هسته هستند. گاهی در اثر جهش در پروتئین ترافیک داخل سلولی دایئنین، واکوئول‌های بزرگ، فراوان و اسیدوفیلی از جنس شبکه اندوپلاسمی متسع و مملو از ایمونوگلوبولین (اجسام راسل) در سیتوپلاسم پلاسماسل مشاهده می‌شود. مورفولوژی پلاسماسل‌ها در برخی از بیماران یک شکل و در برخی دیگر، بسته به مرحله بیماری هتروژن می‌باشند. بر این اساس پلاسماسل‌ها را به سه دسته بالغ (پلاسماسل تیپیک)، حدواسط و نابالغ تقسیم می‌کنند

## بحث

کار تحقیقاتی بر روی نمونه‌های انسانی به دلایلی مثل تعداد کم نمونه، فوت یا از دسترس رفتن برخی از بیماران، الزام به تازه تشخیص بودن بیماران و کسب رضایت کتبی بیمار و پزشک معالج، با محدودیت‌هایی همراه بوده و از طرفی دیگر، کار بر روی مدل‌های حیوانی نیز به دلیل عدم هومولوژی کامل با انسان و تفاوت‌های قابل توجه ساختاری و فیزیولوژی، قابلیت تعییم تام به انسان را ندارد، لذا در بسیاری از موارد برای تحقیقات بیولوژیکی پایه از رده‌های سلولی انسانی استفاده می‌شود. البته تعییم مستقیم نتایج حاصل از رده‌ها یا کشت اولیه به بدنه انسان به دلیل فقدان نیچ میلومایی، سلول‌های استروممال، سیستم کلیرانس کبدی و کلیوی، جریان شار، گردش خون و دیگر موارد فیزیولوژیک، هرگز مقبول نبوده و نیاز به سپری نمودن مراحل مختلف کلینیکال ترایال دارد. تهیه رده میلومایی، پروسه طولانی و سختی می‌باشد که در آن ابتدا منبعی از پلاسماسل‌های مرتبط با بیماری را از خون محیطی (مثل L363، U266 و LP1)، مغز استخوان (مثل KMS-12BM و XG21)، مایعات بیولوژیکی مثل مایع پلور (KMS-12PM و JIM3)، KMM56 (مثل KMM1 و ada) یا آسیت (مثل XG10) یا بافت توموری پلاسماسیتوما (مثل KMM1 و KMM1) جداسازی کرده و به صورت اولیه و بدوى در محیط کشت غنی از FBS20% و گاهاً سیتوکاین رشد کشت می‌دهند<sup>(۶)</sup>، در ادامه و طی پاسازهای مکرر (گاهاً تا ۱۵ ماه)، به تدریج محیط کشت غنی به محیط کشت عمومی با FBS ۱۰ درصد تبدیل شده و لذا فقط سلول‌های سازگارتر و نامیرا کلونال باقی مانده و دیگر سلول‌ها از بین می‌روند. در این شرایط سلول‌ها به تدریج هموژن‌تر شده و از دوبلینگ تایم، مورفولوژی و کلونالیتی همگن‌تری برخوردار می‌شوند

بود. افزایش یا تولید غیرطبیعی ایمونوگلوبولین‌های سرم و یا اجزاء مختلف آن را، گام‌پاتی می‌نامند که اگر پیک گاما نوک تیز، باریک و توأم با درگیری انحصاراً یکی از دو زنجیره  $\kappa$  یا  $\lambda$  باشد، به آن گام‌پاتی مونوکلونال گفته می‌شود. باند مونوکلونال که به آن باند M میلومایی نیز گفته می‌شود، در اثر تکثیر کلونال و بدخیم یک نوع پلاسماسل به وجود می‌آید، از این رو کلون مذکور شروع به تولید ایمونوگلوبولین از یک نوع کلام می‌کند که به دلیل تعداد بالای پلاسماسل‌های تولید کننده آن، غلظت پلاسمایی آن شدیداً افزایش یافته و باعث هیپرویسکوزیته، هیپرپروتئینمی و بروز باند M در الکتروفورز پروتئین‌های سرم و ادرار می‌شود. از آنجایی که دو زنجیره سبک و سنگین ایمونوگلوبولین‌ها در کروموزوم‌های مختلف سنتز می‌شوند، گاهی نسبت این دو زنجیره در پلاسماسل بدخیم بهم خورده و لذا سویی دیگر، با توجه به اینکه تکثیر سلول‌ها کلونال بوده IgL‌های مازاد وارد خون و سپس ادرار می‌شوند، از و هر پلاسماسل فقط یک نوع از IgL‌های کاپا یا لامبدآ (ونه هردو) را می‌سازد، در نتیجه یک باند جدید از پروتئین‌های کوچک Ig $\kappa$  یا Ig $\lambda$  در الکتروفورز سرم و ادرار ظاهر می‌شود که به آن‌ها به ترتیب زنجیره سبک آزاد (FLC) و پروتئین بنس جونز (BJP) گفته می‌شود. پروتئین‌های BJP/FLC، مولکول‌های غیرطبیعی و یا اجزاء ناکامل ایمونوگلوبولین‌ها هستند که به دلیل تجزیه و یا اختلال در سنتز مولکول‌های کامل ایمونوگلوبولین به وجود می‌آیند. این پروتئین‌ها وزنی معادل  $3/5S$  یا  $40$  کیلو Dalton وزن دارند که به علت کوچکی و فیلترینگ سریع از کلیه، بلا فاصله دچار کلیرانس و دفع کلیوی شده و وارد ادرار می‌شوند و به همین نسبت نیز مقدار آن در خون کاهش می‌یابد. این اتفاق باعث پروتئینوری بنس جونز می‌شود که در دراز مدت در کلیه‌ها رسوب

که پلاسماسل‌های نابالغ یا پلاسمابلستیک، سلول‌های چند هسته‌ای بوده و با پرولیفراسیون شدید و پروگنوز بد بیماران در ارتباط می‌باشند. حضور این نوع پلاسماسل‌های دیس‌پلاستیک و اشکال میتوتیک، بدون توجه به درصد آن‌ها، نشان‌دهنده بیماری میلوما می‌باشد که در این تحقیق طیفی از همه موارد فوق شامل پلاسماسل کلاسیک، پلاسماسل چند‌هسته‌ای و اجسام راسل مشاهده گردید.

ایمونوتایپ پلاسماسل طبیعی به صورت CD19+, CD138+, CD56-, CD20-, CD22-, CD38++, CD20+, CD24+, PC1+, CD45+, HLA-DR-, CD40+, CD31+, CD30+, CD28-, CD27+, CD200/-+, BCL2+, CD54+, CD52-, CD44+, Ki67+, CD81+, CD229-, CD117-, CD307+ شناخته می‌شود (۵) که در اثر بدخیمی، هیپرموتابسیون فراوان، بیان تنظیم نشده پروتئین‌های ضدآپوپتوز یا اختلال در تنظیم چرخه سلولی، نشوپلاستیک و نامیرا شده و به سلول‌های میلومایی تبدیل می‌شود که بیان CD27, CD45, PAX-5 دست داده و بیان CD56, CD79, CD56+، CD28, CD79, CD56-، CD20+/-, CD19-, CD45-, HLA-DR-, CD138+, CD56+, CD38+, CD28+, CD27+/-, CD24+, PC1+, PCA1+, CD52+, CD44+, CD40+, CD31+, CD30+, CD307+, CD200+, BCL2+, CD54+, Ki67+, CD81-, CD319+, CD229+, CD117+ شناخته می‌شود که بیان CD138 قادر است پلاسماسل نرمال به صورت (۶ و ۸). سلول‌های میلومایی برخلاف پلاسماسل CD22-, CD20+/-، CD19+, CD45+, HLA-DR+, CD138+, CD56+, CD38+, CD28+, CD27+/-, CD24+, PC1+, PCA1+, CD52+, CD44+, CD40+, CD31+, CD30+, CD307+, CD200+, BCL2+, CD54+, Ki67+, CD81-, CD319+, CD229+, CD117+ افتراق بدهد (۹).

پلاسماسل قادر است در هر ثانیه، ۱۰۰۰۰ آنتی‌بادی بسازد که در ۵ روز حدود ۱۰ تریلیارد آنتی‌بادی خواهد

به تولید مقادیر بالای IL-6 اندوکرین بوده و لذا می‌توانند مستقل از IL-6 اگزوژن نیز تکثیر و بقاء داشته باشند. در یک تحقیق، از ۲۴۸ ژن مورد بررسی، در گروه وابسته به IL-6، تعداد ۲۳ ژن در مقایسه با گروه مستقل افزایش بیان داشته و ناهمگونی مولکولی نیز بیشتر از گروه مستقل دیده شده بود. در رده‌های میلومایی به دلیل c-Myc هیپومتیلاسیون توالی CCGG اگزون ۳ ژن <sup>۳</sup> تقسیم مقدار بیان آن تا ۳۰-۵۰ برابر افزایش می‌یابد که نقش مهمی در پرولیفراسیون آنها دارد (۱۰). افزایش c-Myc در ۹۳ درصد موارد MM دیده می‌شود. بیماران میلومایی از نظر تنوع بیان Cyclin-D به ۷ گروه <sup>۳</sup> MF تقسیم CD-1، HY، MS، LB، PR دارای MS می‌شود که سه گروه PR و به خصوص MS دارای پروگنوز بدی هستند. در سال ۲۰۱۱ رده‌های میلومایی CD-1، MF، MS، CTA/FRZB به ۶ دسته CTA/MF، CD-2Like و تقسیم شده بود که گروه <sup>۳</sup> CTA/MF علاوه بر بیان CTA و همانند گروه <sup>۳</sup> CTA/MF دارای افزایش بیان c-Maf و MafB نیز بودند، لذا امروزه به گروه MF منتقل شدند ولی گروه CTA یا FRZB اغلب دارای تریزومی کروموزوم‌های فرد، افزایش بیان FRZB، فقدان ترانسلوکاسیون درگیر کننده ۱4q32، غالیت جنس مذکر و وابستگی به IL-6 بود که امروزه به عنوان گروه HY (هیپر دیپلوفئیدی) شناخته می‌شود. گروه CD-1 دارای افزایش بیان CCND1/3 بوده ولی گروه CD-2L همانند CD2 دارای افزایش <sup>۳</sup> CCND1/3، MDK، RRAS2، ZDHHC14 و DMD بوده ولی برخلاف CD-2، قادر بیان MS41 و Pax5 می‌باشند. گروه MS دارای ناهنجاری کروموزومی

کرده و باعث آمیلوئیدوز و تخریب کلیه می‌شود، در این مرحله، علاوه بر BJP، آلبومین نیز از ادرار دفع می‌شود (در بین انواع ایمونوگلوبولین، IgD و در بین دو زنجیره سبک، زنجیره  $\lambda$  نفروتوکسیک‌تر می‌باشد). ایمونوگلوبولین‌های کامل، برخلاف BJP قدرت دفع در ادرار را نداشته و در الکتروفورز ادرار دیده نمی‌شوند، مگر اینکه به دلیل آسیب کلیوی و سندرم نفروتیک ناشی از مسمومیت با پروتئین‌های BJP، مولکول‌های ایمونوگلوبولین نیز دفع شوند.

رده‌های میلومای انسانی (HMCLs) به دو دسته وابسته به FBS+IL6 و سل‌لاین‌های وابسته به FBS (مستقل از IL-6) تقسیم می‌شوند (۱۲) که ۶۳ درصد از موارد وابسته به IL-6 و ۲۳ درصد از موارد مستقل از IL-6 مارکر CD45 را نیز بیان می‌کنند. دسته اول بیشتر شامل انواع رده‌های XG24 تا XG1 و رده‌های NAN1/3 ANBL6 و BCN SBN بوده ولی دسته دوم شامل رده‌های متنوعی می‌باشند (جدول ۲) که همه رده‌های استفاده شده در این مقاله نیز از نوع دوم (وابسته به FBS و مستقل از IL-6) بودند ولی با این وجود افزودن APRIL و دیگر فاکتورهای رشد میلومایی (مثل IL-6 IL-21، IGF1 و HGF) نیز می‌توانند باعث افزایش تکثیر و بقاء این دسته از رده‌ها شوند. رده‌های فاقد مستقل از IL-6 به IGF-1 و IL-21 CD45 پاسخ داده ولی رده‌های وابسته به IL-6 که CD45 را بیان می‌کنند، به تنهایی به IL-21 و IGF-1 پاسخ نمی‌دهند. در رده‌های حساس به IL-6 افزایش بیان MAF بیشتر دیده شده و بیان بالای c-MAF و MAFB باعث وابستگی به IL-6 می‌شود. البته برخی از رده‌ها (مثل U266) قادر

<sup>۳</sup> Cell cycle and proliferation (PR group for proliferation), a lower expression of genes involved in bone disease (LB group for “low bone disease”), an aberrant expression of FGFR3 and MMSET genes (MS group for MMSET), a hyperdiploid signature (HY group); an overexpression of cyclin D1 or cyclin D3 genes (CD-1 and CD-2 groups), or an overexpression of MAF and MAFB genes (MF group).

<sup>۴</sup> Cancer testis antigens (CTA)

افزایش بیان CTA و استحاله MM به PCL و HMCL با هیپرمتیلاسیون DNA همراه می‌باشد و رده‌های CTA+ در شرایط هیپرمتیله قرار دارند ولی با این وجود همه گروه‌های MS توأم با (4;14)t می‌باشند. این پایینی از CTA (شرایط هیپرمتیلاسیون) و پروگنوز بد را نشان داده ولی گروه‌های CTA/FRZB توأم با بیان بالای CTA و EDNRB پروگنوز بهتری دارد. برخلاف گروه CD-1، اکثریت گروه CD-2L مستقل از IL-6 و CTA+ بوده ولی گروه CTA/MF علی‌رغم تولید کم IL-6 و بیان بالای IL-6R همگی وابسته به KMS-12BM اگرچنان یا پاراکرین هستند. البته دو رده KMM1 و KMM1 در محیط فاقد FBS نیز می‌توانند تکثیر پیدا کنند. دو رده KMM1 و NOP2 فاقد توانایی تولید ایمونوگلوبولین بوده و فقط پروتئین بنس جونز Igλ ترشح می‌کنند (11 و 14).

لازم به ذکر است که رده‌ها اغلب هتروژنیستی مولکولی که در بدو تشخیص بیماری وجود داشته را طی مرحله سل‌لاینی خود نیز حفظ نموده و این هتروژنیستی در گروه وابسته به IL-6 پیشتر هم می‌باشد. در واقع تغییر الگوی بیان ژنی، تولید فاکتورهای اتوکرین و مقاومت رده‌ها به آنوئیکیس (آپوپتوز ناشی از بی‌خانمان شدن یک سلول در اثر جداسدن از بافت و نیچ اصلی) باعث می‌شود تا سلول‌های میلومایی بتوانند در محیط اکسترا مدلولاری تکثیر نموده و نامیرا شوند. رده‌ها در ۹۰ درصد موارد دارای ترانس لوکاسیون 32q14 می‌باشند که به ترتیب در ۳۱، ۲۸ و ۲۳ درصد موارد با Maf و CyclinD1 و MMSET از جابجایی ایجاد می‌کنند. موتاسیون P53 در ۵۸ درصد از سلول‌های وابسته به IL-6 و ۸۵ درصد سلول‌های مستقل از آن (متوسط ۶۵ درصد موارد) و موتاسیون N/K-Ras در ۴۵ درصد از سلول‌ها دیده می‌شود ولی در عین حال برخی از رده‌های وابسته به IL-6 فاقد هر دو جهش Ras

t می‌باشد که در ۷۰ درصد موارد با افزایش بیان IGF1-R، IGF1، PBX5، FGFR3 و CCND2 در ۱۰۰ درصد موارد با افزایش ژن MMSET همراه بوده و حتی بیان افزایش یافته MMSET به عنوان تست جایگزین (4;14)t نیز مطرح می‌باشد (13). این گروه اغلب از نظر CD45 منفی یا مثبت بسیار ضعیف بوده و ۷ ژن مرتبط با پروگنوز بد، CLEC11A، NUDT11، LRP12، TEAD1، KIAA1671 و FGFR3 را نیز بیان می‌کند (گروه PR سه ژن اول را بیان می‌کند). لازم به ذکر است که طبق طبقه‌بندی Kaplan-meier و بر اساس تعداد ژن‌های ۷ گانه درگیر و شدت پروگنوز بد، می‌تواند به سه گروه I (تعداد ۰-۱ ژن) با شیوع ۷۱-۷۳ درصد، گروه II (تعداد ۲-۴ ژن) با شیوع ۲۱-۲۲ درصد و گروه III (تعداد بالای ۵ ژن) با شیوع ۵-۸ درصد تقسیم‌بندی می‌شود گه گروه III با متوسط بقاء ۳۰-۴۰ ماه، بیشترین مقاومت دارویی و بدترین پروگنوز را دارند. البته علاوه بر گروه MS دو گروه PR و MF نیز پروگنوز بدی دارند با توجه به پروگنوز بد (4;14)t بر اساس عدم خود رده‌های غیر MS و بدون (4;14)t بیان یا بیان بالای ژن‌های GAG12، GAG1 (در PR)، LOC283352 (در HY و BCHE) و FSTL5 (در HY) به دو گروه با پروگنوز خوب و بد تقسیم می‌شوند که البته گروه دوم در مقایسه با گروه MS از پروگنوز و بقاء بهتری برخوردار هستند. در بین Rده‌های مورد استفاده این تحقیق، سه رده KMS-12BM، CD-2L و L363 در گروه KMM1، 12BM در LP1 و RPML-8226 در گروه JJN3، Maf در گروه PR و در گروه U266 در گروه MS در قرار MGUS و دارد (13). عنوان می‌شود که استحاله MGUS و پلاسماسل نرمال به MM با هیپرمتیلاسیون DNA و

تعیین هویت و ارزیابی اولیه خصوصیات یک رده قبل از شروع کارهای تحقیقاتی را توجیه می‌کنند. چه بسا در این مرحله، از بین رده‌های مختلف یک بیماری، یک رده رد شده و رده دیگری انتخاب شود؛ به عنوان مثال گاه‌آز بین رده‌های مختلف برخی مقاوم به یک داروی خاص بوده، یا برخی از نظر بیان یک CD مارکر، مثبت بوده یا برخی از نظر بیان یک ژن موتابت، Over express باشند یا به دلایلی، احتمال آلدگی مایکوپلاسمایی در یک رده وجود داشته باشد.

### نتیجه‌گیری

در این تحقیق که فاز ابتدایی از شروع یک تحقیق مجزا بود، ابتدا رده‌هایی که فاقد شناسنامه معتبر بوده و به صورت اهدایی و غیررسمی از لندن به تهران ارسال شده بود، مورد بررسی ایمونوفوتایپ و ایمونوتایپ جهت تعیین هویت قرار گرفتند. در بررسی مورفولوژی، میلومایی بودن همه رده‌های سلولی تأیید شد ولی مورفولوژی سه رده LP1، JJN3 و L363 شباهت بالایی را به یکدیگر نشان دادند. در ادامه CD مارکرهای میلومایی نیز روی سلول‌ها انجام شد که کماکان شباهت ایمونوفوتایپی این سه رده بسیار بالا بود ولی در مرحله الکتروفورز پروتئین‌های سرم (SPE) و ایمونوتایپ باند گاما، تفاوت‌هایی در رده LP1 دیده می‌شد که حکایت از تفاوت آن با دو رده JJN3 و L363 داشت. از طرفی دیگر در منابع مختلف، JJN3 به صورت IgA:κ معرفی شده بود که در بررسی ما، این ایمونوتایپ تأیید نشد و L363 (IgG:λ) و لذا یکسان بودن دو رده JJN3 و L363 وجود یک اشتباه احتمالی در لیبل‌گذاری رده JJN3 مورد شک و هویت این سلول مورد تردید قرار گرفت. لذا در تحقیقات آتی یا این رده حذف شده یا اینکه تمامی نتایج آن با تردید و در قیاس با L363 آنالیز

و P53 هستند. نکته دیگر آنکه ۲۵ درصد رده‌های وابسته و ۶ درصد رده‌های مستقل از IL-6 فاقد ترانس لوکاسیون عود شونده هستند.

قیمت اکثر رده‌ها در فرم فریز و داخل فلاسک به ترتیب ۳۶۰ و ۷۲۰ یورو (معادل ۳/۶ میلیون تومان) و قیمت هر ۵ میکرولیتر از DNA تخلیص شده آن‌ها ۱۰۰ یورو KMS-12BM، KMS-12PM می‌باشد. برخلاف CD20، رده express باشند. برخلاف آمیلاز و CD7 و دارای (11;14)، بیان بالای تولید آمیلاز CD20 و CD11a، Bcl-X، Bcl-2، t(11;14) هستند. این سلول‌ها در کل Non-Secretor بوده و آنتی‌بادی ترشح نمی‌کنند ولی رده سلولی KMS-12PE و اکثریت رده‌ها به دلیل عدم بیان CD20 احتمالاً در مراحل آخر تمایز B سل قرار دارند. این رده به دلیل استقرار در مایع پلور به صورت اکتوپیک آمیلاز تولید کرده و در ناحیه 1p22-pter نیز دچار حذف شدگی می‌باشد (۱۵).

رده‌ها اغلب در کارهای تحقیقاتی پری‌کلینیکال یا فاز ۰ کلینیکال، برای بررسی اثرات مستقیم یا سینرژیک دارویی، سیگنالینگ، بیان ژنی و مواردی مثل برهم‌کنش سلولی مورد استفاده قرار می‌گیرند. البته برخی از رده‌ها مثل KMS-5 (CD10+) (Towanayi توموزایی نیز داشته و در صورت تزریق زیرجلدی به غدد لنفاوی یا ورید دم موش، باعث بروز تومورهای منفرد می‌لومایی می‌شوند. اعتماد مطلق به رده خریداری یا اهداء شده اغلب باعث بروز مشکلاتی می‌شود که ممکن است کل نتایج آزمایشگاهی را مورد تردید قرار دهد. احتمال آلدگی یک سلول با سلول دیگری که همزمان روی آن‌ها کار می‌شود، لیبل نویسی اشتباه در مراحلی مثل پاساز، فریز یا دفریز، پاک شدن نوشته‌های روی کرایوول یا فلاسک، برخی اشتباهات سههوی و عدم انتخاب رده مناسب از علل مهمی هستند که نیاز به

و مرکز تحقیقات و فناوری بنیادتنه به جهت ایجاد امکانات مطلوب پژوهشی و کمک به کسب نتایج فوق، تشرکر نمایم. این تحقیق با هزینه شخصی انجام و تحت حمایت مالی مرکزی قرار نداشت.

خواهند شد. از طرفی دیگر، با توجه به عدم وجود منبع دیگری از این رده‌ها در کشور، بدین‌وسیله توصیه می‌شود همکاران و پژوهشگران گرامی نیز با توجه به نتایج فوق، یکی از دو سلول را به عنوان گزینه نهایی خود استفاده کنند.

### تضاد منافع

هیچ گونه تعارض منافع توسط نویسندگان بیان نشده است.

### سپاس و قدردانی

در پایان لازم است از زحمات تمامی اساتید، همکاران و پژوهشگران گروه هماتولوژی دانشگاه تربیت مدرس

### References:

- Klein U, Dalla-Favera R. Germinal Centres: Role in B-Cell Physiology and Malignancy. *Nat Rev Immunol* 2008; 8(1): 22-33.
- Nakaya A, Fujita S, Satake A, et al. Impact of CRAB Symptoms in Survival of Patients with Symptomatic Myeloma in Novel Agent Era. *Hematol Rep* 2017; 9(1): 6887.
- Nutt SL, Hodgkin PD, Tarlinton DM, et al. The Generation of Antibody-Secreting Plasma Cells. *Nat Rev Immunol* 2015; 15(3): 160-71.
- Zhan F, Huang Y, Colla S, et al. The Molecular Classification of Multiple Myeloma. *Blood* 2006; 108(6): 2020-28.
- Manzanera MG, Izquierdo SJ, Matos OA. Immunophenotyping of Plasma Cells in Multiple Myeloma. *Methods Mol Med* 2005; 113: 5-24.
- Gooding PR, Bybee A, Cooke A, et al. Phenotypic and Molecular Analysis of Six Human Cell Lines Derived from Patients with Plasma Cell Dyscrasia. *Br J Haematol* 1999; 106(3): 669-81.
- Bakhtiari M, Kaviani S, Abroon S, Moallemi M, Jalaei Kho H. Amniotic Fluid that Supports the Growth of Plasma Cells. *Iran South Med J* 2018; 21(4): 304-318.
- Seegmiller AC, Xu Y, McKenna RW, et al. Immunophenotypic Differentiation between Neoplastic Plasma Cells in Mature B-cell Lymphoma vs Plasma Cell Myeloma. *Am J Clin Pathol* 2007; 127(2): 176-81.
- Flores-Montero J, De Tute R, Paiva B, et al. Immunophenotype of Normal vs. Myeloma Plasma Cells: Toward Antibody Panel Specifications for MRD Detection in Multiple Myeloma. *Cytometry B Clin Cytom* 2016; 90(1): 61-72.
- Kawano Y, Fujiwara S, Wada N, et al. Multiple Myeloma Cells Expressing Low Levels of CD138 Have an Immature Phenotype and Reduced Sensitivity to Lenalidomide. *Int J Oncol* 2012; 41(3): 876-84.
- Togawa A, Inoue N, Miyamoto K, et al. Establishment and Characterization of a Human Myeloma Cell Line (KMM-1). *Int J Cancer* 1982; 29(5): 495-500.
- Moreaux J, Klein B, Bataille R, et al. A High-Risk Signature for Patients with Multiple Myeloma Established from the Molecular Classification of Human Myeloma Cell Lines. *Haematologica* 2011; 96(4): 574-82.
- Vincent Rajkumar S. Multiple Myeloma: 2018 Update on Diagnosis, Risk-Stratification, and Management. *Am J Hematol* 2018; 93(8): 1091-110.
- Drexler HG, Matsuo Y. Malignant Hematopoietic Cell Lines: in Vitro Models for the Study of Multiple Myeloma and Plasma Cell Leukemia. *Leuk Res* 2000; 24(8): 681-703.
- Ohtsuki T, Yawata Y, Wada H, et al. Two Human Myeloma Cell Lines, Amylase-Producing KMS-12-PE and Amylase-Non-Producing KMS-12-BM, Were Established from a Patient, Having the Same Chromosome Marker, t(11;14)(q13;q32). *Br J Haematol* 1989; 73(2): 199-204.

**Original Article**

# **Immunophenotypic and Immunotypic Evaluations of Human Myeloma Cell Lines KMM-1, JJN3, LP1, L363, KMS-12BM and RPMI-8226 for Cell-Line Authentication**

**N. Vazifeh shiran (MSc)<sup>I\*</sup>, S. Abroun (PhD)<sup>I</sup>**

<sup>I</sup> Department of Hematology, School of Medical Sciences, Tarbiat Modares University, Tehran, Iran

(Received 7 Jul, 2019)

Accepted 21 Aug, 2019)

## **Abstract**

**Background:** The disease-associated cell lines used in the majority of preclinical trials should be first authenticated and identified to avoid directing research expenditure on wrong cells and obtaining irrelevant results. The present study evaluated the immunophenotypic and immunotypic authenticity of six human myeloma cell lines (HMCLs).

**Materials and Methods:** Cytospin smear and Wright staining were used for investigating cell morphology, the flowcytometry of the markers CD45, CD2, CD19, CD38 and CD138 for immunophenotypic investigations, capillary electrophoresis for the immunoglobulin secretion potency and immunofixation for the immunotypical investigation of the cells.

**Results:** Given the definite plasma cell morphology, the identity of all the cell lines was confirmed, although a similar morphology was observed in L363 and JJN3. In addition to authenticating the myeloma nature of all the cell lines, immunophenotypic investigations suggested a complete similarity between L363 and JJN3 cell lines. Examining their immunotypes for a final confirmation found KMS12BM to be non-secretor, KMM1 to be BJP-λ and the remaining to be IgG-λ.

**Conclusion:** Despite confirming the identity of four cell lines, i.e. RPMI-8226, KMS-12BM, KMM1 and LP1, that of JJN3 and L363 cells, whose immunotype was determined as IgGλ, was questioned owing to their fundamental morphological, immunophenotypic and immunotypic similarities. On the other hand, a review of literature and ATCC.org suggested that the main nature of JJN3 is IgAk. The authenticity of the JJN3 cell line was therefore unclear and it was indeed the same as that of L363. The JJN3 cell-line was therefore discarded, and the associated results were interpreted as consistent with the results of L363.

**Keywords:** Cell line, HMCL, myeloma, authentication, immunophenotype, immunotype

©Iran South Med J All right reserved

Cite this article as: Vazifeh shiran N, Abroun S. Immunophenotypic and Immunotypic Evaluations of Human Myeloma Cell Lines KMM-1, JJN3, LP1, L363, KMS-12BM and RPMI-8226 for Cell-Line Authentication. Iran South Med J 2019; 22(5): 287-295

Copyright © 2019 Vazifeh shiran, et al This is an open-access article distributed under the terms of the Creative Commons Attribution-noncommercial 4.0 International License which permits copy and redistribute the material just in noncommercial usages, provided the original work is properly cited.

\*Address for correspondence: Department of Hematology and Blood Banking, School of Medical Sciences, Tarbiat Modares University of Medical Sciences, Tehran, Iran.

Email: nadershirani@yahoo.com

\*ORCID: 0000-0003-0438-4438